

03; 04

© 1991

ДИФФУЗИОННЫЙ ПРЕДВЕСТНИК УДАРНОЙ ВОЛНЫ  
В СЛАБОИОНИЗИРОВАННОЙ ПЛАЗМЕ  
ЭЛЕКТРООТРИЦАТЕЛЬНОГО ГАЗА

С.Ф. Т е с е л к и н

Явления, сопровождающие распространение ударной волны (УВ) в газоразрядной плазме, находятся в последнее время под пристальным вниманием [1–5]. В одной из первых работ [1] отмечалось ускорение фронта ударной волны в разрядном промежутке. По мнению авторов [1], это ускорение не отвечало степени нагрева плазмы. Последующие многочисленные как экспериментальные [2–5], так и теоретические [6–8] исследования показали, что, хотя и основной причиной падения интенсивности УВ является обычный нагрев плазмы, само явление распространения сильного газодинамического разрыва в неравновесной плазме носит сложный характер. Это касается как процессов, происходящих во фронте УВ [6, 9], так и изменения общей динамики разрыва в неравновесной среде [7, 8].

Ниже приводится исследование диффузационной структуры УВ в температурно-неравновесной плазме электроотрицательного газа. В отличие от обычных пространственных распределений параметров плазмы, экспоненциально спадающих на больших расстояниях вперед по потоку, здесь реализуется медленный степенной спад концентрации в предвестнике. Характер изменения электронной плотности в предвестнике может играть ключевую роль в вопросе об устойчивости УВ в плазме с источником неравновесности (пучки заряженных частиц, электрическое поле). Кроме того, степенной спад диффузационного профиля концентрации в электроотрицательном газе имеет самостоятельное значение, т.к. он является точным решением нелинейного уравнения диффузии и может иметь место в экспериментах, где существенную роль играют процессы прилипания.

Для исследования диффузационной структуры УВ в неравновесной слабоионизированной плазме с отрицательными ионами ниже ограничимся процессами, происходящими во фронте УВ на характерных масштабах  $\Delta$ , которые удовлетворяют следующим неравенствам:

$$\lambda_{en} \ll \Delta \ll \left(\frac{m_i}{m_e}\right)^{1/2} \lambda_{en}, L_{ion},$$

где  $m_\alpha$  - масса частицы сорта  $\alpha$ ,  $\lambda_{en}$  - длина свободного пробега электрона в плазме,  $L_{ion}$  - характерная длина ионизационных процессов. Первое правое неравенство означает пренебрежение на этих масштабах процессами электронной теплопроводности и релаксации электронной температуры  $T_e$ , т.е. процесс диффузии идет на фоне постоянной электронной температуры. Введение минимального масштаба  $\lambda_{en}$  ограничивает область применимости уравнений гидродинамики, а также позволяет считать УВ, распространяющуюся в нейтральной компоненте, бесструктурным скачком. Приведем характерные значения параметров, упоминавшихся выше:  $\lambda_{en} \approx 5 \cdot 10^{-2}$  см,  $L \approx 1-5$  см,  $L_{ion} \approx 10^2$  см.

Для ионов запишем уравнения гидродинамики:

$$\frac{\partial}{\partial t} N_+ + \frac{\partial}{\partial x} (N_+ V_+) = 0; \quad (1)$$

$$\frac{d}{dt} V_+ = \frac{e}{m_+} E - v_{+n} (V_+ - V_n); \quad (2)$$

$$\frac{\partial}{\partial t} N_- + \frac{\partial}{\partial x} (N_- V_-) = 0; \quad (3)$$

$$\frac{d}{dt} V_- = - \frac{e}{m_-} E - v_{-n} (V_- - V_n); \quad (4)$$

где  $N_\alpha$ ,  $V_\alpha$  - плотность и гидродинамическая скорость частиц сорта  $\alpha$ ,  $e$  - заряд электрона,  $E$  - электрическое поле,  $v_{\alpha n}$  - частота столкновений частиц  $\alpha$  с нейтральными, является функцией температуры и плотности нейтралов [10]:  $v_{\alpha n} = V_{Tn} \varphi_{\alpha n} N_n$ . В сильнонеизотермической плазме с  $T_e \gg T_n$  электрическое поле определяется поведением электронов:

$$E = - \frac{T_e}{e} \nabla (\ln N_e), \quad (5)$$

причем оно не зависит от относительной концентрации электронов  $\varepsilon$  ( $N_e = \varepsilon N_+$ ) даже при малых  $\varepsilon$  вплоть до  $T_n / T_e \ll \varepsilon$ .

В движущейся вместе со скачком системе координат уравнения (1-5) записутся как

$$\eta_+ u_+ = 1; \quad \eta_- u_- = 1;$$

$$\frac{d}{d\xi} \eta_e = \frac{u_+ - u_n}{\Delta_+} \eta_e \eta_n \theta_n^{1/2}; \quad (6)$$

$$\frac{d}{d\xi} \eta_e = - \frac{u_- - u_n}{\Delta_-} \eta_e \eta_n \theta_n^{1/2}.$$

В уравнениях (6) введены обозначения:  $\eta_\alpha = N_\alpha / N_{\alpha 1}$ ,  $\alpha = 1 - V_\alpha / c$ ,  $\theta_n = T_n / T_{n1}$ . Все величины (кроме масштабов  $\Delta_\alpha = (T_e / T_{n1})(q_{nn} / q_{\alpha n}) \lambda_\alpha$ , где  $\lambda_n$  — длина свободного пробега нейтралов) зависят от  $\xi = x - ct$ , где  $c$  — скорость фронта ударной волны. Зависимость от  $\xi$  для нейтралов задана обычными разрывными функциями, например,  $\eta_n = 1 + (\eta_{n2} - 1) \theta(-\xi)$ , где  $\theta(x) = 1$  при  $x > 0$  и  $\theta(x) = 0$  при  $x < 0$ . Ограничимся умеренной интенсивностью УВ, число Маха которой  $M^2 \ll T_e / T_{n1}$ .

Кроме того, из условия зарядовой нейтрализации  $N_+ = N_- + N_e$ , в безразмерных переменных следует:

$$\eta_+ = \gamma \eta_- + \varepsilon \eta_e = \gamma \eta_- + (1-\gamma) \eta_e, \quad (7)$$

где под  $\gamma$  подразумевается начальная концентрация отрицательных ионов:  $\gamma = N_- / N_{+1}$ . Из соотношений (6, 7) определяется связь  $\eta_e$  и  $\eta_+$ :

$$\eta_e = \frac{\eta_+}{1-\gamma} \left( 1 - \frac{\gamma \eta_n}{\eta_+ (1+d) - \eta_n d} \right), \quad (8)$$

за безразмерную величину  $d$  принято отношение масштабов диффузии:  $d = \Delta_- / \Delta_+ = q_{+n} / q_{-n}$ . После подстановки (8) в (6) придем к уравнению для определения профиля величины  $\eta_+$  в УВ:

$$\eta_+ \frac{d}{d\xi} \ln \left( \eta_+ \left( 1 - \frac{\gamma \eta_n}{\eta_+ (1+d) - \eta_n d} \right) \right) = \frac{\eta_n - \eta_+}{\Delta_+} \theta_n^{1/2}. \quad (9)$$

В данном случае интерес представляет область  $\xi > 0$ , так как именно здесь разыгрывается диффузионное сжатие в УВ [6]. Для этой области решение уравнения (9) выглядит следующим образом:

$$\left( 1 + \frac{\gamma(1+d)}{1-\gamma} \right) \ln \left( \frac{\eta_+ - 1}{\beta_+ - 1} \right) - \frac{d+\gamma}{1-\gamma} \ln \left( \frac{\eta_+ \frac{d+\gamma}{d+1}}{\beta_+ \frac{d+\gamma}{d+1}} \right) + d \ln \left( \frac{\eta_+ \frac{d}{d+1}}{\beta_+ \frac{d}{d+1}} \right) = \frac{-\xi}{4_+}, \quad (10)$$

где константа интегрирования  $\beta_+ > 1$  находится из системы (6):

$$\beta_+ = \frac{1}{2} \left( \frac{d+\gamma}{d+1} + (1-\gamma)\beta \right) - \frac{1}{2} \left( \left( \frac{d+\gamma}{d+1} + (1-\gamma)\beta \right)^2 - 4 \frac{d}{d+1} (1-\gamma)\beta \right)^{1/2},$$

причем под  $\beta$  подразумевается конечная степень сжатия электронной компоненты ( $\beta = \eta_{n2}$ ). Для различных  $\gamma$  и  $d$  профили (10) приведены на рис. 1, соответствующие профили электронного сжатия — на рис. 2. Из рисунков видно, что в общем случае амбиополярная диффузия не в состоянии на масштабе  $\Delta$  обеспечить непрерывное сжатие положительных и отрицательных ионов. Однако электронная компонента плазмы претерпевает полное сжатие, соответствующее конечному сжатию в УВ, независимо от своей относительной концентрации  $\varepsilon = 1 - \gamma$  (при условии  $\varepsilon \gg T_e / T_n$ ).

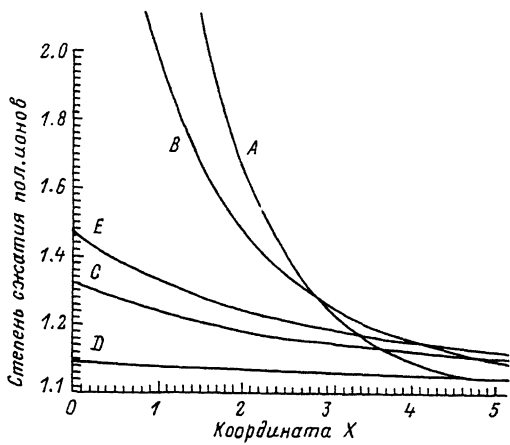


Рис. 1. Профили диффузационного сжатия положительных ионов для УВ с предельной степенью сжатия  $\beta = 6$  для:  $\gamma = 10^{-2}$ ,  $d = 1$  – кривая А;  $\gamma = 0.5$ ,  $d = 1$  – кривая В;  $\gamma = 0.9$  и  $d = 1, 10^{-1}, 10$  – соответственно кривые С, Д, Е (за  $X$  обозначена координата  $X = \xi / \Delta_t$ ).

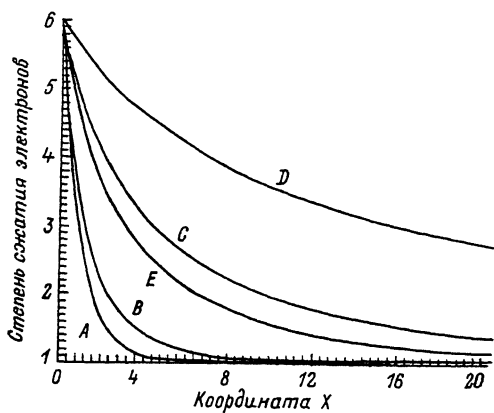


Рис. 2. Профили электронного сжатия в предвестнике УВ с интенсивностью, соответствующей сжатию в  $\beta = 6$  раз для аналогичных рис. 1 параметров  $\gamma$  и  $d$ . Для  $1 - \gamma \ll 1$  и  $d \ll 1$  характерен существенный (степенной) вынос возмущения вперед по потоку.

В пределе  $\gamma \rightarrow 0$   $\gamma_+ = \gamma_e$  и (10) переходит в обычный профиль диффузационного предвестника [6] (кривая А на рис. 1):

$$\ln \left( \frac{\gamma_+ - 1}{\beta - 1} \right) = \frac{-\xi}{d_+}. \quad (11)$$

В обратном пределе, когда  $1 - \gamma \ll 1$ , профиль (10) даст слабое сжатие положительных ионов  $(1 - \beta_+^2 \ll 1$  — кривые С, Д, Е на рис. 1):

$$\ln \left( \frac{\gamma_+ - 1}{\beta_+^2 - 1} \right) - \left( \frac{1}{\gamma_+ - 1} - \frac{1}{\beta_+ - 1} \right) + d \ln \left( \frac{\gamma_+ \frac{d}{d+1}}{\beta_+ \frac{d}{d+1}} - \frac{\beta_+ - 1}{\gamma_+ - 1} \right) = \frac{-\xi}{d_+}, \quad (12)$$

однако, как видно из рис. 2 (кривые С, Д, Е), электронное сжатие — полное. При  $d \rightarrow 0$  профиль (12) примет вид:

$$\ln \left( \frac{\gamma_+ - 1}{\beta_+^2 - 1} \right) - \left( \frac{1}{\gamma_+ - 1} - \frac{1}{\beta_+ - 1} \right) = \frac{\xi}{d_+}. \quad (13)$$

Из (12, 13) следует важный результат: на расстояниях, превышающих  $d$ , зависимость плотности  $\gamma_+$  (следовательно, и  $\gamma_e$ ) от  $\xi$  здесь степенная. Это может радикально изменить картину устойчивости УВ в плазме с источником неравновесности, так как создается возможность „облегченной“ диффузии электронов вперед по потоку.

Действительно, хотя при  $\gamma \rightarrow 1$  относительная концентрация электронов уменьшается, электрическое поле по-прежнему „наводится“ электронами, вырывающимися вместе с небольшой долей ионов вперед по потоку ( $T_e \gg T_h$ ). Случай  $d \rightarrow 0$  означает, что  $\gamma_{+n} \ll \gamma_{-n}$ , т.е. отрицательные ионы из-за большого сечения неподвижны, а положительные ионы вместе с электронами „проскальзывают“ в нейтрапалах. Линейный анализ такого движения (см. (6) при  $\gamma_e - 1 \ll 1$ ,  $\gamma_+ - 1 \ll 1$  в пределах  $\gamma \rightarrow 1$  и  $d \rightarrow 0$ ) также дает увеличение масштаба профиля электронного сжатия до величины  $d_+ (1 - \gamma)^{-1} \gg d_+$ . Слабость диссипации энергии направленного движения в предвестнике объясняется невозможностью быстро диссипировать эту энергию за счет столкновений типа  $i_+ - n$  из-за очень незначительной степени сжатия положительных ионов (см. рис. 1, Д):  $\gamma_+ - 1 = (1 - \gamma)(\gamma_e - 1)$ . В итоге диффузия облегчается. Более того, при  $d \approx 1$  (как для воздуха) влияние отрицательных ионов не сильно оказывается на степенном характере предвестника (ср. С рис. 2). Слабый степенной спад электронной концентрации вперед по потоку позволяет надеяться на возможность существенного влияния состояния плазмы за фронтом УВ на параметры втекающего потока, т.е. на устойчивость самого разрыва в плазме с источником неравновесности.

# Список литературы

- [1] Климов А.И., Коблов А.Н., Мишин Г.И. и др. // Письма в ЖТФ. 1982. Т. 8. № 7. С. 439.
- [2] Горшков В.А., Климов А.И., Мишин Г.И. и др. // ЖТФ. 1987. Т. 57. № 10. С. 1893.
- [3] Ершов А.П., Клишин С.В., Кузовников А.А. и др. // ЖТФ. 1989. Т. 59. № 8. С. 142.
- [4] Галкин А.М., Сысоев Н.Н., Шугаев Ф.В. // ЖТФ. 1986. Т. 56. № 3. С. 596.
- [5] Бархударов Э.М., Березовский В.Р., Мдивнишвили М.Ю. и др. Препринт ФП-20. Институт физики АН ГССР. Тбилиси. 1983. 11 с.
- [6] Авраменко Р.Ф., Рухадзе А.А., Теселкин С.Ф. // Письма в ЖТФ. 1981. Т. 34. № 9. С. 485.
- [7] Рухадзе А.А., Силаков В.П., Чеботарев А.В. // Краткие сообщения по физике. 1983. № 6. С. 18.
- [8] Встровский Г.В., Козлов Г.И. // ЖТФ. 1986. Т. 56. № 8. С. 1536.
- [9] Найдис Г.В. // ТВТ. 1991. Т. 29. № 1. С. 15.
- [10] Гинзбург В.Л., Рухадзе А.А. // Волны в магнитоактивной плазме. М.: Наука, 1975. С. 255.

Институт проблем  
механики АН СССР

Поступило в Редакцию  
14 июня 1991 г.